

# Analisi dinamica inversa di un quadrilatero articolato

## Dati:

Si consideri un quadrilatero articolato caratterizzato dai seguenti parametri:

1. raggio della manovella  $A_0A$ :  $r = 100$  mm;
2. lunghezza della biella  $AB$ :  $b = 315$  mm;
3. lunghezza della bilanciere  $B_0B$ :  $c = 500$  mm;
4. lunghezza del telaio  $A_0B_0$ :  $d = 425$  mm;
5. angolo di inclinazione del telaio:  $\delta = (7/4)\pi$ ;
6. momento d'inerzia della manovella  $J_{A_0} = 0.0245$  kg m<sup>2</sup>;
7. massa della biella  $m_2 = 2$  kg;
8. momento d'inerzia baricentrico della biella  $J_2 = 0.016$  kg m<sup>2</sup>;
9. massa del bilanciere  $m_3 = 3.5$  kg;
10. momento d'inerzia baricentrico del bilanciere  $J_3 = 0.066$  kg m<sup>2</sup>;
11. la manovella ruoti con velocità angolare costante pari a  $n = 150$  rpm.

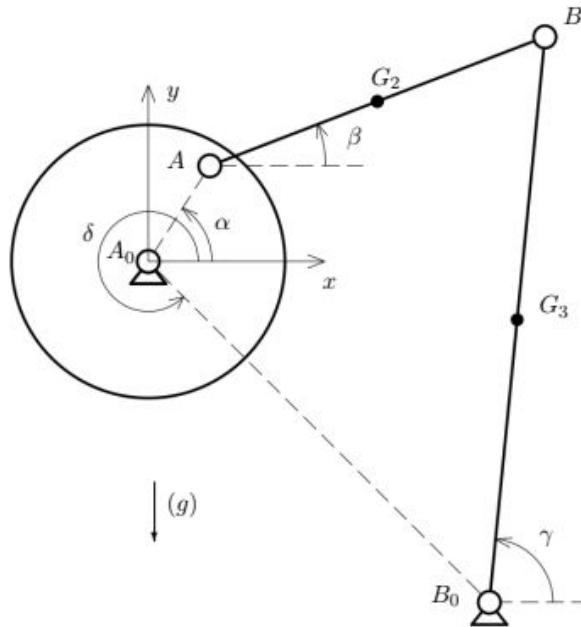


Figura 1: Rappresentazione schematica del sistema

## Richiesta:

si chiede di determinare l'andamento della coppia motrice, rispetto all'angolo di manovella, che consente di mantenere la condizione di moto.

## Soluzione:

Per la risoluzione del problema si scriva l'equazione di bilancio delle potenze:

$$M_m \dot{\alpha} + \mathbf{P}_2^T \mathbf{v}_{G2} + \mathbf{P}_3^T \mathbf{v}_{G3} - (m_2 \mathbf{a}_{G2}^T) \mathbf{v}_{G2} - (m_3 \mathbf{a}_{G3}^T) \mathbf{v}_{G3} - J_2 \dot{\beta} \ddot{\beta} - J_3 \dot{\gamma} \ddot{\gamma} = 0 \quad (1)$$

l'equazione può essere riscritta in forma matriciale dove:

$$\mathbf{P}_2 = \begin{bmatrix} 0 \\ -m_2 g \end{bmatrix} \quad \mathbf{P}_3 = \begin{bmatrix} 0 \\ -m_3 g \end{bmatrix} \quad (2)$$

$$\mathbf{v}_{G2} = \begin{bmatrix} v_{G2x} \\ v_{G2y} \end{bmatrix} \quad \mathbf{v}_{G3} = \begin{bmatrix} v_{G3x} \\ v_{G3y} \end{bmatrix} \quad \mathbf{a}_{G2} = \begin{bmatrix} a_{G2x} \\ a_{G2y} \end{bmatrix} \quad \mathbf{a}_{G3} = \begin{bmatrix} a_{G3x} \\ a_{G3y} \end{bmatrix} \quad (3)$$

Per il calcolo delle componenti lungo x e lungo y delle velocità e delle accelerazioni dei punti G2 e G3, si possono seguire diversi approcci, tra i quali l'approccio geometrico, quello con i numeri complessi e l'approccio vettoriale.

## Approccio geometrico:

Considerando come origine del sistema di riferimento assoluto il punto A<sub>0</sub> (figura 1), le coordinate dei punti G2 e G3 possono essere scritte come:

$$\begin{cases} x_{G2} = r \cos \alpha + AG_2 \cos \beta \\ y_{G2} = r \sin \alpha + AG_2 \sin \beta \\ x_{G3} = d \cos 2\pi - \delta + B_0 G_3 \cos \gamma = d \cos \delta + B_0 G_3 \cos \gamma \\ y_{G3} = -d \sin 2\pi - \delta + B_0 G_3 \sin \gamma = d \sin \delta + B_0 G_3 \sin \gamma \end{cases} \quad (4)$$

Eseguendo la derivata prima e seconda si ricavano velocità e accelerazione:

$$\begin{cases} v_{G2x} = -\dot{\alpha} r \sin \alpha - \dot{\beta} AG_2 \sin \beta \\ v_{G2y} = \dot{\alpha} r \cos \alpha + \dot{\beta} AG_2 \cos \beta \\ v_{G3x} = -\dot{\gamma} B_0 G_3 \sin \gamma \\ v_{G3y} = \dot{\gamma} B_0 G_3 \cos \gamma \end{cases} \quad (5)$$

$$\begin{cases} a_{G2x} = -\dot{\alpha}^2 r \cos \alpha - \ddot{\alpha} r \sin \alpha - \dot{\beta}^2 AG_2 \cos \beta - \ddot{\beta} AG_2 \sin \beta \\ a_{G2y} = -\dot{\alpha}^2 r \sin \alpha + \ddot{\alpha} r \cos \alpha - \dot{\beta}^2 AG_2 \sin \beta + \ddot{\beta} AG_2 \cos \beta \\ a_{G3x} = -\dot{\gamma}^2 B_0 G_3 \cos \gamma - \ddot{\gamma} B_0 G_3 \sin \gamma \\ a_{G3y} = -\dot{\gamma}^2 B_0 G_3 \sin \gamma + \ddot{\gamma} B_0 G_3 \cos \gamma \end{cases} \quad (6)$$

termini che contengono  $\ddot{\alpha}$  saranno nulli poiché la velocità della manovella è considerata costante.

Per la determinazione delle velocità  $\dot{\beta}$ ,  $\dot{\gamma}$  e delle accelerazioni  $\ddot{\beta}$ ,  $\ddot{\gamma}$  si può ricorrere all'analisi cinematica condotta mediante il "metodo dei loop vettoriali".

## Analisi di posizione:

$$re^{i\alpha} + be^{i\beta} = ce^{i\gamma} + de^{i\delta} \quad (7)$$

Per la risoluzione dei angoli  $\beta$  e  $\gamma$  dato l'angolo di manovella  $\alpha$ , si usa il metodo di Newton-Raphson. Quindi si sviluppa in serie di Taylor nell'intorno dei valori di primo tentativo  $\beta_0$  e  $\gamma_0$ , arrestandosi al I ordine, la funzione che descrive la posizione

$$f(\alpha, \beta, \gamma) = re^{i\alpha} + be^{i\beta} - ce^{i\gamma} - de^{i\delta} = 0 \quad (8)$$

$$f(\alpha, \beta, \gamma) \approx f(\alpha, \beta_0, \gamma_0) + \frac{\partial f}{\partial \beta} \bigg|_{(\beta_0, \gamma_0)} (\beta - \beta_0) + \frac{\partial f}{\partial \gamma} \bigg|_{(\beta_0, \gamma_0)} (\gamma - \gamma_0) \quad (9)$$

$$\frac{\partial f}{\partial \beta} = ibe^{i\beta}, \quad \frac{\partial f}{\partial \gamma} = -ice^{i\gamma} \quad (10)$$

Il nuovo valore della soluzione sarà quindi valutato come:

$$\mathbf{x} = \begin{bmatrix} \beta \\ \gamma \end{bmatrix} = \mathbf{x}_0 - \begin{pmatrix} \text{Real}(ibe^{i\beta_0}) & \text{Real}(-ice^{i\gamma_0}) \\ \text{Imag}(ibe^{i\beta_0}) & \text{Imag}(-ice^{i\gamma_0}) \end{pmatrix}^{-1} \begin{bmatrix} \text{Real}(f(\alpha_0, \beta_0, \gamma_0)) \\ \text{Imag}(f(\alpha_0, \beta_0, \gamma_0)) \end{bmatrix} \quad (11)$$

da cui è possibile scrivere la formula ricorsiva:

$$x_{i+1} = x_i - \mathbf{J}_i^{-1} R_i \quad (12)$$

```
Dx = np.dot(-inv(J),R)
x = x + Dx
```

## Analisi di velocità:

Integrando l'equazione complessa che descrive la posizione, si ottiene:

$$ir\dot{\alpha}e^{i\alpha} + ib\dot{\beta}e^{i\beta} - ic\dot{\gamma}e^{i\gamma} = 0 \quad (13)$$

$$ir\dot{\alpha}e^{i\alpha} = -ib\dot{\beta}e^{i\beta} + ic\dot{\gamma}e^{i\gamma} \quad (14)$$

$$\begin{bmatrix} \dot{\beta} \\ \dot{\gamma} \end{bmatrix} = \begin{pmatrix} \text{Real}(-ibe^{i\beta}) & \text{Real}(ice^{i\gamma}) \\ \text{Imag}(-ibe^{i\beta}) & \text{Imag}(ice^{i\gamma}) \end{pmatrix}^{-1} \begin{bmatrix} \text{Real}(ir\dot{\alpha}e^{i\alpha}) \\ \text{Imag}(ir\dot{\alpha}e^{i\alpha}) \end{bmatrix} \quad (15)$$

```

xp = np.dot(inv(np.array([[cbetap.real, cgammap.real], [cbetap.imag,
cgammap.imag]])), np.array([Tn.real, Tn.imag]).transpose())
betap = xp[0]
gammap = xp[1]

```

## Analisi di accelerazione:

Integrando l'equazione complessa che descrive le velocità, si ottiene:

$$i r \ddot{\alpha} e^{i\alpha} - r \dot{\alpha}^2 e^{i\alpha} + i b \ddot{\beta} e^{i\beta} - b \dot{\beta}^2 e^{i\beta} - i c \ddot{\gamma} e^{i\gamma} + c \dot{\gamma}^2 e^{i\gamma} = 0 \quad (16)$$

$$-i b \ddot{\beta} e^{i\beta} + i c \ddot{\gamma} e^{i\gamma} = -i r \ddot{\alpha} e^{i\alpha} + r \dot{\alpha}^2 e^{i\alpha} + b \dot{\beta}^2 e^{i\beta} - c \dot{\gamma}^2 e^{i\gamma} \quad (17)$$

$$\begin{bmatrix} \ddot{\beta} \\ \ddot{\gamma} \end{bmatrix} = \begin{pmatrix} \text{Real}(-i b e^{i\beta}) & \text{Real}(i c e^{i\gamma}) \\ \text{Imag}(-i b e^{i\beta}) & \text{Imag}(i c e^{i\gamma}) \end{pmatrix}^{-1} \begin{bmatrix} \text{Real}(-i r \ddot{\alpha} e^{i\alpha} + r \dot{\alpha}^2 e^{i\alpha} + b \dot{\beta}^2 e^{i\beta} - c \dot{\gamma}^2 e^{i\gamma}) \\ \text{Imag}(-i r \ddot{\alpha} e^{i\alpha} + r \dot{\alpha}^2 e^{i\alpha} + b \dot{\beta}^2 e^{i\beta} - c \dot{\gamma}^2 e^{i\gamma}) \end{bmatrix} \quad (18)$$

```

xpp = np.dot(inv(np.array([[cbetap.real, cgammap.real], [cbetap.imag,
cgammap.imag]])), np.array([Tna.real, Tna.imag]).transpose())
matx1.append(-xpp);
betapp = -xpp[0]
gammapp = -xpp[1]

```

Anche in questo caso, i termini contenenti  $\ddot{\alpha}$  saranno nulli poiché la velocità della manovella è costante.

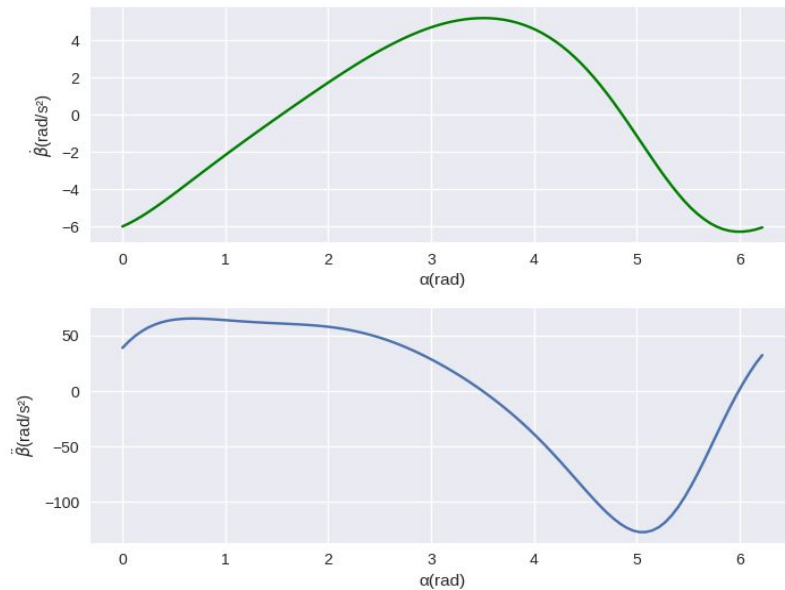


Figura 2: Velocità e accelerazione angolare della biella

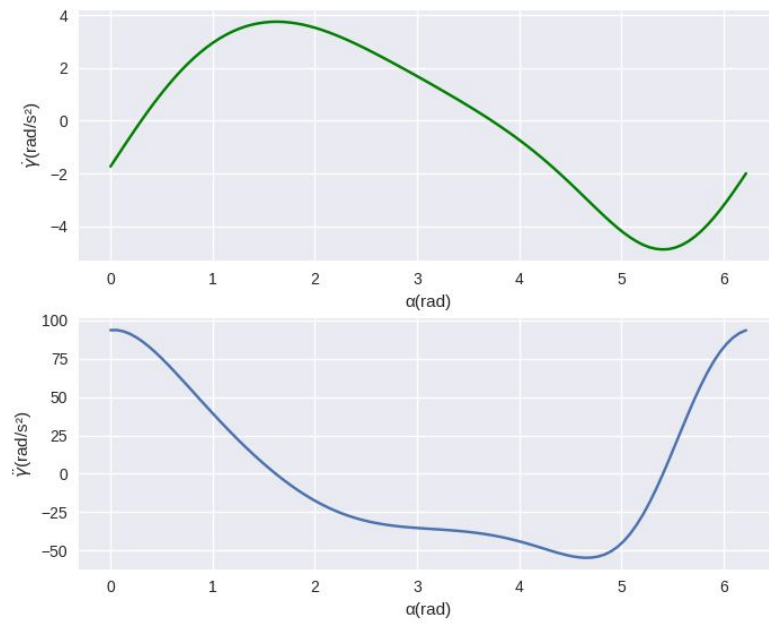


Figura 3: Velocità e accelerazione angolare del bilanciare

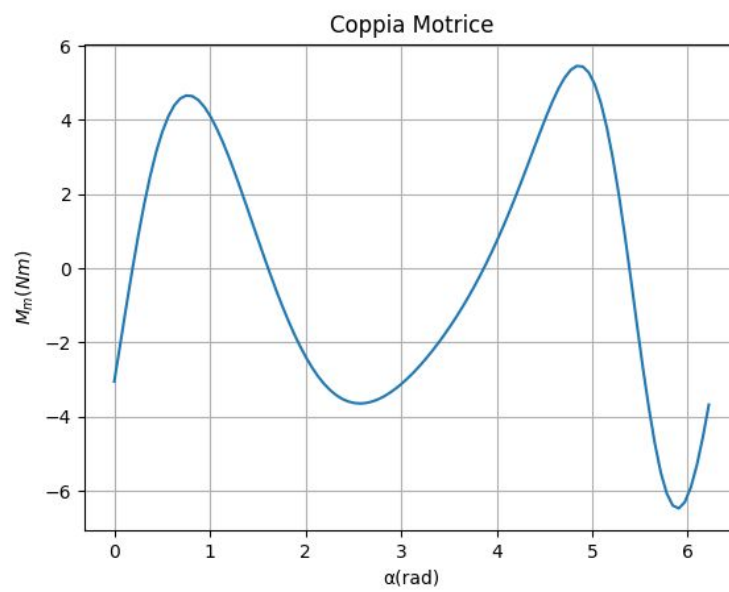


Figura 4: Coppia motrice

## Codice:

```
# Author: Mohsen Ghalbi
# Date: 31/12/2019
# Description: Qudrilatero articolato

import numpy as np
import matplotlib.pyplot as plt
import cmath
from numpy.linalg import inv
import matplotlib as mpl

r=100e-3
b=315e-3
c=500e-3
d=425e-3
delta=7/4*np.pi
m2=2
J2=0.016
m3=3.5
J3=0.066
n=150; # [rpm]
w=n*2*np.pi/60 # [rad/s]

dalphi = 2*np.pi/100
alphaf = 2*np.pi
valpha = np.arange(0,alphaf, dalphi)
toll = 0.001
beta0 = 15*np.pi/180
gamma0 = 100*np.pi/180
Mm = []

def resto(alpha, x):
    beta = x[0]
    gamma = x[1]
    f = r*cmath.exp(complex(0,1)*alpha) +
b*cmath.exp(complex(0,1)*beta)-c*cmath.exp(complex(0,1)*gamma)-
d*cmath.exp(complex(0,1)*delta)
    return np.array([f.real, f.imag]).transpose()

def jacob(x):
    beta = x[0]
    gamma = x[1]
    dfbeta = complex(0,1)*b*cmath.exp(complex(0,1)*beta)
    dfgamma = -complex(0,1)*b*cmath.exp(complex(0,1)*gamma)
    return np.array([[dfbeta.real, dfgamma], [dfbeta.imag, dfgamma.imag]])

x = [beta0, gamma0]
matx = []
```

```

matx1 = []
for i in np.arange(0, len(valpha)):
    # analisi di posizione
    Dx = [10*toll, 10*toll]
    R = [10*toll, 10*toll]

    while (abs(Dx[0]) > toll or abs(Dx[1]) > toll or abs(R[0]) > toll or
abs(R[1]) > toll):
        R = resto(valpha[i],x)
        J = jacob(x)
        Dx = np.dot(-inv(J),R)
        x = x + Dx
    beta = x[0]
    gamma = x[1]

    # analisi della velocità
    cbetap = -complex(0,1)*b*cmath.exp(complex(0,1)*beta)
    cgammap = complex(0,1)*c*cmath.exp(complex(0,1)*gamma)
    Tn = complex(0,1)*r*w*cmath.exp(complex(0,1)*valpha[i])
    xp = np.dot(inv(np.array([[cbetap.real, cgammap.real], [cbetap.imag,
cgammap.imag]])),np.array([Tn.real, Tn.imag]).transpose())
    betap = xp[0]
    gammap = xp[1]
    matx.append(xp);
    # analisi della accelerazione
    Tna = r*pow(w,
2)*cmath.exp(complex(0,1)*valpha[i])+b*pow(betap,2)*cmath.exp(complex(0,1)*beta)
-c*pow(gammap,2)*cmath.exp(complex(0,1)*gamma)
    xpp = np.dot(inv(np.array([[cbetap.real, cgammap.real], [cbetap.imag,
cgammap.imag]])),np.array([Tna.real, Tna.imag]).transpose())
    matx1.append(-xpp);
    betapp = -xpp[0]
    gammapp = -xpp[1]
    # velocità e accelerazioni baricentri
    vG2 =
complex(0,1)*w*r*cmath.exp(complex(0,1)*valpha[i])+complex(0,1)*betap*b/2*cmath.
exp(complex(0,1)*beta);
    vG3 = complex(0,1)*gammap*c/2*cmath.exp(complex(0,1)*gamma)
    aG2 =
-pow(w,2)*r*cmath.exp(complex(0,1)*valpha[i])+complex(0,1)*betapp*b/2*cmath.exp(
complex(0,1)*beta)-pow(betap,2)*b/2*cmath.exp(complex(0,1)*beta)
    aG3 =
complex(0,1)*gammapp*c/2*cmath.exp(complex(0,1)*gamma)-pow(gammap,2)*c/2*cmath.e
xp(complex(0,1)*gamma)
    g = 9.81
    P2 = np.array([0, -m2*g])
    P3 = np.array([0, -m3*g])
    vvG2 = np.array([vG2.real, vG2.imag]).transpose()
    vvG3 = np.array([vG3.real, vG3.imag]).transpose()
    vaG2 = np.array([aG2.real, aG2.imag])

```

```

vaG3 = np.array([aG3.real, aG3.imag])

Mm.append((-np.dot(P2,vvG2)-np.dot(P3,vvG3)-(-m2*np.dot(vaG2,vvG2))-(-m3*np.dot(
vaG3,vvG3))-(-J2*betapp*betap)-(-J3*gammapp*gammap))/w)

X = [x[0] for x in matx]
X1 = [x[0] for x in matx1]
Y = [x[1] for x in matx]
Y1 = [x[1] for x in matx1]

# Grafico della coppia motrice
plt.plot(valpha, Mm)
plt.xlabel('\u03B1(rad)')
plt.ylabel('$M_m(Nm)$')
plt.title('Coppia Motrice')
plt.grid()
fig = plt.gcf()
fig.canvas.set_window_title('Coppia Motrice')
plt.show()

#Grafico velocità e accelerazione della biella
mpl.style.use('seaborn')
fig, (ax1, ax2) = plt.subplots(2);
ax1.set_xlabel('\u03B1(rad)')
ax1.set_ylabel('$\dot{\u03B2}$(rad/s\u00b2)')
ax1.set_title('Velocità angolare della biella')
ax1.plot(valpha, X, color='green')
ax2.set_xlabel('\u03B1(rad)')
ax2.set_ylabel('$\ddot{\u03B2}$(rad/s\u00b2)')
ax2.set_title('Accelerazione angolare della biella')
ax2.plot(valpha, X1)
fig.canvas.set_window_title('Velocità & Accelerazione biella')
plt.show()

#Grafico velocità e accelerazione del bilanciere
fig, (ax1, ax2) = plt.subplots(2);
ax1.set_xlabel('\u03B1(rad)')
ax1.set_ylabel('$\dot{\u03B3}$(rad/s\u00b2)')
ax1.set_title('Velocità angolare del bilanciere')
ax1.plot(valpha, Y, color='green')
ax2.set_xlabel('\u03B1(rad)')
ax2.set_ylabel('$\ddot{\u03B3}$(rad/s\u00b2)')
ax2.set_title('Accelerazione angolare del bilanciere')
ax2.plot(valpha, Y1)
fig.canvas.set_window_title('Velocità & Accelerazione bilanciere')
plt.show()

```